

$^{50,48,46}\text{Ti}$ 的 $(n,p)(n,\alpha)$ 和 ^{58}Ni 的 $(n,2n)(n,p)$ 反应截面的测量*

袁俊谦 王永昌 孔祥忠 杨景康

(兰州大学现代物理系, 730001)

摘要

本文叙述了从 13.50 MeV 到 14.81 MeV 中子能区用活化法相对 $^{27}\text{Al}(n,\alpha)^{24}\text{Na}$ 的反应截面, 对 $^{50}\text{Ti}(n,\alpha)^{47}\text{Ca}$ 、 $^{48}\text{Ti}(n,p)^{48}\text{Sc}$ 、 $^{46}\text{Ti}(n,p)^{46}\text{Sc}$ 、 $^{58}\text{Ni}(n,2n)^{57}\text{Ni}$ 、 $^{58}\text{Ni}(n,p)^{58m+59}\text{Co}$ 五个反应截面的测量。并将所得的结果和其他作者的结果进行了比较。

一、前言

钛和镍都是聚变反应堆的重要结构材料, $^{48}\text{Ti}(n,p)^{48}\text{Sc}$ 、 $^{46}\text{Ti}(n,p)^{46}\text{Sc}$ 、 $^{58}\text{Ni}(n,p)^{58}\text{Co}$ 反应产生的质子和 $^{50}\text{Ti}(n,\alpha)^{47}\text{Ca}$ 反应产生的 α 粒子进而形成氢和氦气, 对 D-T 聚变堆的安全运行关系很大, 在研究中子辐射损伤时必须考虑, $^{58}\text{Ni}(n,2n)^{57}\text{Ni}$ 反应阈能高, 它可以作为聚变堆中子剂量和 D-T 中子成分测量的高阈探测器, 所以这些反应的截面为人们所重视。对钛, 由于天然钛的同位素比较多而且质量数都是相邻的, 因此一个同位素核的 (n,p) 反应将受相邻同位素核的 (n,d) 、 (n,np) 和 (n,pn) 反应的干扰, 所以现有截面数据分歧比较大。对镍的这两个反应, 现在国外虽有许多数据发表, 但彼此之间有较大的分歧, 文献[1]对其有详细的比较。在国内北京原子能研究院在较宽能区对这两个反应的截面做了测量, 卢涵林等最近给出了这两个反应截面的编评推荐曲线^[2]。我们用强流中子发生器在 13.50—14.81 MeV 中子能区对这五个反应的截面用活化法进行了测量。

二、实验过程

1. 样品照射

实验工作是在兰州大学 ZF-300-II 型强流中子发生器上进行的。以 $T(d,n)^4\text{He}$ 作中子源, 平均氘束能量 \bar{E}_d 为 125 keV, 束流强度约 20 mA, 氘钛靶厚度约 0.9 mg/cm^2 , 靶点处中子产额为 $1-3 \times 10^{12}$ 中子/s。在与入射氘束夹角为 $0^\circ-130^\circ$ 之间放置六组样品, 样品距中子源中心距离最近是 5 cm, 最远是 28 cm。样品位置处的中子能量是用铌锆截面

* 本文 1990 年 12 月 28 日收到。

* 核工业公司 1989 年基金资助。

比测定的。对钛样品的六个能量点的值为 14.81、14.67、14.38、14.18、13.84 和 13.50 MeV，照射时间 6.56h。对镍样品的六个中子能量值为 14.62、14.43、14.21、14.00、13.79 和 13.64 MeV，样品照射时间为 7.38h。钛、镍样品都是天然同位素丰度的纯金属片，直径都是 20 mm，钛片厚度为 0.5 mm，纯度为 99.98%。镍片厚度为 0.5 mm—0.7 mm，纯度为 99.9%。中子注量监督片为 0.1mm 厚的纯铝片，直径也是 20mm，纯度为 99.99%。每个样品都夹在两个铝片之间。照射期间中子通量的变化是用铀裂变室监督的，以便修正中子通量波动。

2. 剩余核的放射性测量

剩余核的活性是由测量它们 γ 射线谱的全能峰来求得的。我们的 γ 谱仪是由国产的 CH8403 同轴高纯锗探测器与 ORTEC7450 型多道脉冲幅度分析器组成。探测器相对效率为 20%，能量分辨为 3keV（对 1.33 MeV γ 射线），对 γ 射线的探测效率是用美国国家标准局生产的 SRM4275 型标准点源进行刻度的，估计效率误差小于 1.5%。对 ^{50}Ti (n, α) ^{47}Ca 、 ^{48}Ti (n, p) ^{48}Sc 、 ^{46}Ti (n, p) ^{46}Sc 、 ^{58}Ni ($n, 2n$) ^{57}Ni 、 ^{58}Ni (n, p) $^{58m+\epsilon}\text{Co}$ 、 ^{27}Al (n, α) ^{24}Na 等反应剩余核放射性活度计算用到的核数据^[3]和级联符合加合修正系数如下表所示：

表 1 反应产物核数据

反应道	靶核同位素丰度	产物核半衰期	测量的 E_γ (keV)	γ 发射率(%)	符合加合修正系数
^{50}Ti (n, α) ^{47}Ca	5.3%	4.536d	1297.068	74.9	1
^{48}Ti (n, p) ^{48}Sc	73.7%	1.821d	1312.046	100	1.218
^{46}Ti (n, p) ^{46}Sc	8.0%	83.83d	1120.515	99.987	1.100
^{58}Ni ($n, 2n$) ^{57}Ni	67.88%	36.072h	1377.62	77.9	1.132
^{58}Ni (n, p) $^{58m+\epsilon}\text{Co}$	67.88%	70.916d	810.79	99.5	1.034
^{27}Al (n, α) ^{24}Na	100%	14.96h	1368.598	100	1.074

在放射性活性测量时，由于 ^{58}Co 的 m 态半衰期为 9.2 h，所以对 $^{58m+\epsilon}\text{Co}$ 活性的测量冷却时间应保证 m 态全部衰变到基态。我们实际冷却时间为 45d。在计算 γ 射线活性时对中子注量波动、 γ 射线在样品中的自吸收、级联 γ 符合效应及测量几何等进行了校正。

三、实验结果和讨论

测量截面的计算公式如下：

$$\sigma_s = \frac{[\epsilon I_\gamma \eta K g M D]_s \cdot [\lambda AFC]_s}{[\epsilon I_\gamma \eta K g M D]_s \cdot [\lambda AFC]_m} \cdot \sigma_m, \quad (1)$$

在此，下标 s 代表被测样品的参数， m 表示监督标准的参数。公式中各参数的意义如下： ϵ 为探测器对特征 γ 射线全能峰的探测效率； I_γ 为特征 γ 射线强度； η 为所测核素的同位素丰度； $g = 1 - e^{-\lambda T}$ 表示剩余核的生长因子，其中 λ 为衰变常数， T 为中子照射时间； M 为样品质量； $D = e^{-\lambda t_1} - e^{-\lambda t_2}$ 为测量收集因子，其中 t_1 为从照射结束到测量开

始的时间间隔, t_2 为从照射结束到测量结束的时间间隔; A 为元素的原子量; C 为测量的全能峰面积; F 为总的 γ 活性校正因子, $F = f_s \cdot f_c \cdot f_g$, 而 f_s 、 f_c 和 f_g 分别为 γ 射线在样品中的自吸收修正因子、级联符合加合修正因子和测量几何修正因子; K 为中子注量波动校正因子, 其表达式为:

$$K = \left[\sum_{i=1}^l \phi_i (1 - e^{-\lambda \Delta t_i}) e^{-\lambda T_i} \right] / \Phi g, \quad (2)$$

其中 l 为将照射时间分成的段数; Δt_i 为每段的时间间隔; T_i 为第 i 段时间结束到照射结束的时间间隔; ϕ_i 为在 Δt_i 内入射到样品上的平均中子通量。我们测量的结果如表 2 所示:

表 2 测量结果

中子能量 (MeV)	13.50	13.84	14.18	14.38	14.67	14.81
$^{50}\text{Ti}(n,\alpha)^{47}\text{Ca}$ 反应截面 (mb)	6.6 ± 0.5	7.4 ± 0.5	8.0 ± 0.5	8.9 ± 0.5	9.6 ± 0.5	9.5 ± 0.6
$^{46}\text{Ti}(n,p)^{44}\text{Sc}$ 反应截面 (mb)	306 ± 15	286 ± 14	299 ± 13	305 ± 13	294 ± 12	305 ± 12
$^{48}\text{Ti}(n,p)^{48}\text{Sc}$ 反应截面 (mb)	61.3 ± 2.8	62.4 ± 2.8	64.4 ± 2.7	65.7 ± 2.7	63.5 ± 2.6	65.6 ± 2.6
中子能量 (MeV)	13.64	13.79	14.00	14.21	14.43	14.62
$^{58}\text{Ni}(n,2n)^{57}\text{Ni}$ 反应截面 (mb)	13.0 ± 0.5	16.9 ± 0.6	22.8 ± 0.8	26.6 ± 0.8	30.5 ± 0.9	34.2 ± 1.0
$^{58}\text{Ni}(n,p)$ $^{58m+g}\text{Co}$ 反应截面 (mb)	442 ± 16	434 ± 16	403 ± 13	367 ± 11	328 ± 9	318 ± 8

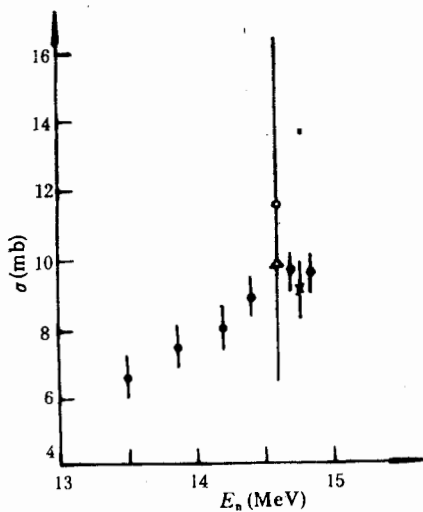


图 1 $^{50}\text{Ti}(n,\alpha)^{47}\text{Ca}$ 反应截面与中子能量关系
 ● 本文 × 文献[4] △ 文献[5]预计
 值 ○ 文献[5]测量值

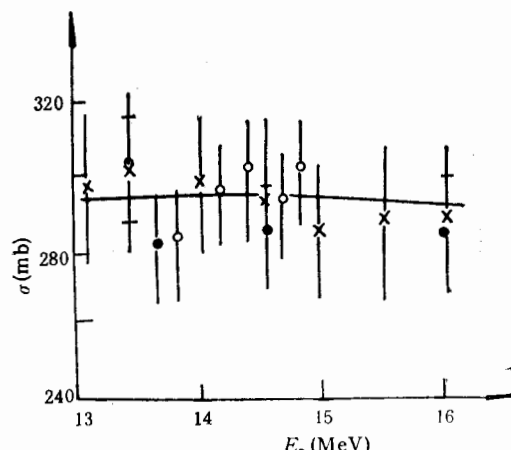


图 2 $^{46}\text{Ti}(n,p)^{44}\text{Sc}$ 反应截面与中子能量关系
 ○ 本文 × 文献[6] ● 文献[7] — 文献[2]

实验误差主要来自标准截面误差,计数统计误差, γ 探测效率误差,样品称量误差,自吸收校正误差,级联符合加合修正误差,用铌锆截面比定中子能量的误差和中子通量波动修正误差。由于天然钛中⁴⁶Ti的丰度为8%,⁴⁷Ti的丰度为7.5%,而⁴⁶Ti的(n,p)反应产物与⁴⁷Ti的(n,d),(n,pn),(n,np)反应产物一样都是⁴⁶Sc,所以本结果给出的⁴⁶Ti(n,p)⁴⁶Sc的反应截面是⁴⁶Ti的(n,p)和⁴⁷Ti的(n,d),(n,np),(n,pn)反应

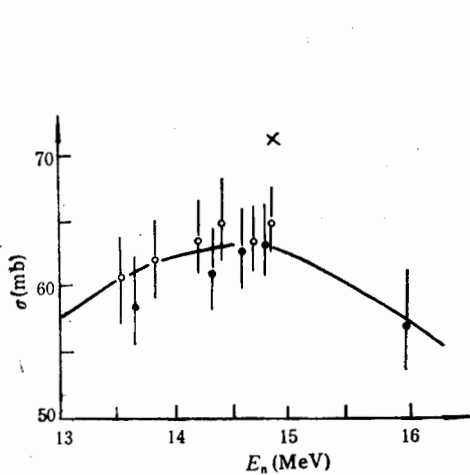


图3 ⁴⁶Ti(n,p)⁴⁶Sc 反应截面与中子能量关系
○本文 ×文献[4] ●文献[7]测
量值 —文献[2]编评推荐值

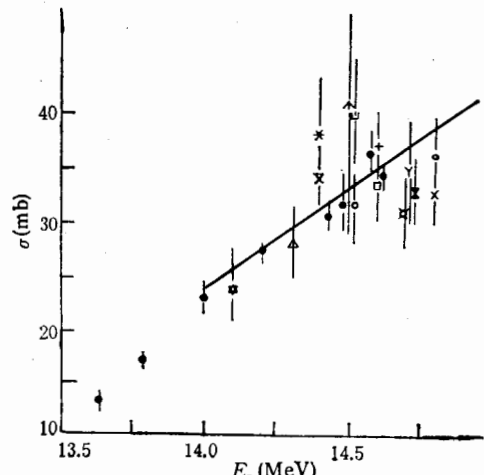


图4 ⁵⁸Ni(n,2n)⁵⁷Ni 反应截面与中子能量关系
↑(53) E. B. Paul ×(61) L. A. Rayburn □(62)
W. G. Cross ⊕(62) R. N. Glover △(63) E. T.
Bramlitt Y(65) J. E. Strain + (65) J. Csikai
△(68) J. K. Temperley ○(69) R. C. Barrall *
(70) R. W. Fink X(73) J. D. Hemingway ▲(75)
R. Spangler ⊕(77) Huang Jianzhou ×(85) I.
Ribansky —(89) Evaluated ● 本文

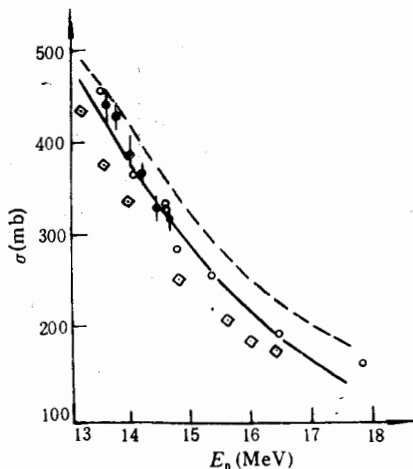


图5 ⁵⁸Ni(n,p)^{58m+58}Co 反应截面与中子能量关系
◇(71) A. Paulsen ○(77) Huang Jianzhou ○(85) Fan Peiguo ○(89)
Li Tinyan ---(82) IAEA-NDS-48 —(89) Evaluated ● 本文

的截面和。对 $^{50}\text{Ti}(n,\alpha)^{47}\text{Ca}$ 反应，我们的测量结果与其他人的比较如图 1 所示。从图看出我们的结果与文献[4]在误差范围内符合得比较好，与文献[5]的预计值也是一致的，但它的测量值偏大 27%，因为它的误差范围是 $\pm 43\%$ ，所以在误差范围内是符合的。关于 $^{46}\text{Ti}(n,p)^{46}\text{Sc}$ 的反应我们的结果与其他人的比较如图 2 所示。由图可见，我们的结果与文献[6、7]的测量值和文献[2]的编评推荐值在误差范围内符合得比较好。在文献[4]中作者在 14.8 MeV 中子能点用分离同位素分别测得 $^{46}\text{Ti}(n,p)^{46m+z}\text{Sc}$ 的截面为 $266.7 \pm 8.6\text{mb}$ ， $^{47}\text{Ti}(n,np)^{46m+z}\text{Sc}$ 的截面为 $62.8 \pm 2.4\text{mb}$ ，在误差范围内与我们的结果比较一致。关于 $^{48}\text{Ti}(n,p)^{48}\text{Sc}$ ，我们的测量结果与别人的比较如图 3 所示。我们的测量值与文献[7]的测量值和文献[2]的编评推荐值都符合得比较好。文献[4]的结果偏大 9%。由于 $^{58}\text{Ni}(n,p)^{58m+z}\text{Co}$ 反应实验阈能约为 1 MeV，这样 $D(d,n)^3\text{He}$ 反应产生的中子对这个反应将有一定的影响。为了减少这个影响我们在进行这个实验时用了新的氘钛靶。为了比较，在图 4、图 5 中分别给出了我们的测量结果和赵文荣、卢涵林等^[2] 1989 年的编评推荐曲线及其有关的实验数据。从图中看出两者符合得比较好。

参 考 文 献

- [1] 黄建周 崔云峰 赵文荣 陈宝林，原子能科学技术，3(1977)，211。
- [2] Zhao Wenrong and Lu Hanlin et al., Compilation Measurement and Evaluation of Nuclear Activation Cross Section for Nuclear data Applications, CNDC-89014.
- [3] E. Browne and R. B. Firstone, Table of Radioactive Isotopes, (1986).
- [4] I. Ribansky and S. Gmuca, J. Phys. G: Nucl. Phys., 9(1983), 1537—1547.
- [5] Bull. Inst. Chem. Res. Kyoto Univ., 60(1982), 211—213.
- [6] H. Liskien and Paulsen, Nucl. Phys. 63(1965), 393—400.
- [7] Lu hanlin et al., PHE, 3(1979), 242.

The Cross Section Measurement for the Reactions of $^{48,46}\text{Ti}(n,p)$ $^{48,46}\text{Sc}$ $^{50}\text{Ti}(n,\alpha)$ ^{47}Ca and $^{58}\text{Ni}(n,2n)$ $^{57}\text{Ni}^{58}\text{Ni}(n,p)^{58m+z}\text{Co}$

YUAN JUNQIAN WANG YONGCHANG KONG XIANGZHONG YANG JINGKANG
(Department of Modern Physics, Lanzhou University 730001)

ABSTRACT

The cross sections for the $^{50}\text{Ti}(n,\alpha)^{47}\text{Ca}$, $^{46}\text{Ti}(n,p)^{46}\text{Sc}$, $^{48}\text{Ti}(n,p)^{48}\text{Sc}$ and $^{58}\text{Ni}(n,2n)$ $^{57}\text{Ni}^{58}\text{Ni}(n,p)^{58m+z}\text{Co}$ reactions have been measured by using the activation method relative to the cross sections of the $^{27}\text{Al}(n,\alpha)^{24}\text{Na}$ reaction in the neutron energy range of 13.50—14.81 MeV. The neutron energies were determined by the cross section ratios of the $^{90}\text{Zr}(n,2n)^{89m+z}\text{Zr}$ and $^{93}\text{Nb}(n,2n)^{92m}\text{Nb}$ reactions. The results obtained are compared with the published and to be published data of several authors.